

IRRADIAZIONE:

MOMENTO DELLA SORGENTE: $\underline{M} = M_{z_0} = \iiint_{V'} \underline{J}_i(\underline{r}') dV'$

CAMPO EM IRRADIATO:

$$\left[\begin{aligned} \underline{E} &= \frac{\eta M}{2\pi r^2} \left(1 + \frac{1}{jk r} \right) e^{-jk r} \cos \theta \underline{r}_0 + \frac{j\omega \mu M}{4\pi r} \left(1 + \frac{1}{jk r} - \frac{1}{k^2 r^2} \right) e^{-jk r} \sin \theta \underline{\theta}_0 \\ \underline{H} &= \frac{jk M}{4\pi r} \left(1 + \frac{1}{jk r} \right) e^{-jk r} \sin \theta \underline{\phi}_0 \end{aligned} \right]$$

dove, essendo $k = \frac{2\pi}{\lambda} \Rightarrow \frac{1}{jk r} = \frac{1}{j\beta r} = \frac{1}{j2\pi} \cdot \frac{\lambda}{r}$.

A seconda del fattore $\frac{r}{\lambda}$:

- A distanze "piccole" ($r \ll \lambda$):

$$\boxed{E \propto \frac{1}{r^3} \quad H \propto \frac{1}{r^2}}$$

è il campo nelle VICINANZE della sorgente, detto CAMPO DI INDUZIONE, che può avere anche valore elevato nonostante la potenza erogata sia bassa, poiché vuol dire che predomina la potenza reattiva.

- A distanze "grande" ($r \gg \lambda$):

$$\left[\underline{E} \approx j \frac{\eta M}{2\lambda r} e^{-j\beta r} \sin \theta \underline{\theta}_0 ; \underline{H} \approx \frac{jM}{2\lambda r} e^{-j\beta r} \sin \theta \underline{\phi}_0 ; \underline{H} = \frac{\underline{r}_0 \times \underline{E}}{\eta} \right]$$

è il campo "irradiato" a distanze dalla sorgente, detto CAMPO DI RADIAZIONE che TRASPORTA LA POTENZA irradiata della sorgente, poiché \underline{E} ed \underline{H} sono immaginari, quindi \underline{P} sarà reale!

CAMPO DI RADIAZIONE:

- è un' ONDA SFERICA, la cui ampiezza decresce come $\frac{1}{r}$, come richiesto dalla conservazione dell'energia;
- $\underline{E} \perp \underline{H} \perp \underline{r}_0$, dove \underline{r}_0 è direzione di propagazione locale e di trasporto energia;
- $\frac{E}{H} = \eta$.

Il CAMPO ASINTOTICO ($\underline{E}_\infty, \underline{H}_\infty$) ha le proprietà di un RAGGIO ELETTROMAGNETICO e lo posso approssimare, a grandi distanze, con un'ONDA PIANA UNIFORME.

• SORGENTE CORTA FILIFORME:

Sia lunghezza $l \Rightarrow \mathcal{M} = Il$, dove I è la CORRENTE che scorre in tale sorgente cilindrica (momento di dipolo $p = qa$).

Il campo di RADIAZIONE sarà:

$$\underline{E}_\infty(\underline{r}) = j \frac{\eta I}{2} \frac{R}{R} \frac{e^{-j\beta R}}{R} \sin \theta \underline{\theta}_0; \quad \underline{H}_\infty = \frac{\underline{r}_0 \times \underline{E}}{\eta}$$

La POTENZA IRRADIATA, quindi \underline{P} , va come $\left(\frac{R}{R}\right)^2$.

Se la SORGENTE è CORTA ($l \ll \lambda$) \rightarrow la SORGENTE IRRADIA "POCO".

- Per il generatore, il filamento di corrente che irradia equivale ad una RESISTENZA DI RADIAZIONE R_i che dissipa la potenza W_i irradiata:

$$W_i = \frac{1}{2\eta} \oint_S |\underline{E}_\infty|^2 dS = \frac{\pi}{3} \eta I^2 \left(\frac{l}{\lambda}\right)^2$$

quindi:

$$R_i = \frac{2W_i}{I^2} = \frac{2}{3} \pi \eta \left(\frac{l}{\lambda}\right)^2$$

• RUOLO DELLA FREQUENZA f :

Qualunque elemento di circuito percorso da corrente è una sorgente che irradia.

Se $l \ll \lambda = \frac{c_0}{f} \rightarrow$ Vale la TEORIA DEI CIRCUITI per frequenze $f \approx 100 \text{ MHz}$ ($\lambda \approx 1 \text{ m}$)

* Attribuiti, per frequenze maggiori dell'ordine dei GHz (MICROONDE)

\rightarrow la radiazione è apprezzabile e non si può usare la teoria dei circuiti.

ANTENNE:

DIAGRAMMA DI RADIAZIONE: $\underline{E}_\infty(r) = C \frac{e^{-j\beta r}}{r} \underline{f}(\theta, \phi)$

- C ed $\frac{e^{-j\beta r}}{r}$ sono COSTANTI per ogni sorgente
- $\underline{f}(\theta, \phi)$ dipende da dimensioni, forme e distribuzioni delle correnti; quindi varia da ANTENNA ad antenne.

DIAGRAMMA DI RADIAZIONE IN CAMPO:

$$\underline{F}(\theta, \phi) = r e^{j\beta r} \underline{E}_\infty(r, \theta, \phi) = F_\theta(\theta, \phi) \underline{e}_\theta + F_\phi(\theta, \phi) \underline{e}_\phi$$

Descrive le proprietà delle antenne in AMPIEZZA e FASE.

DIAGRAMMA DI RADIAZIONE IN POTENZA:

$$P(\theta, \phi) = r^2 \cdot \frac{1}{2} |\underline{E}_\infty \times \underline{H}_\infty^*| = \frac{1}{2\eta} |\underline{F}(\theta, \phi)|^2$$

Fornisce la DENSITA' SUPERFICIALE DI POTENZA IRRADIATA PER ANGOLO SOLIDO (W/ster).

FUNZIONE DI DIRETTIVITA':

$$D(\theta, \phi) = \frac{P(\theta, \phi)}{\frac{W_T}{4\pi}}$$

Normalizza $P(\theta, \phi)$ alla densità angolare media di potenza irradiata.

DIRETTIVITA': $\max D(\theta, \phi)$

AREA EQUIVALENTE:

$$A_{ep}(\theta, \phi) = \frac{W_{rp}(\theta, \phi)}{\mathcal{P}}$$

dove il pedice p indica che DIPENDE DALLA POLARIZZAZIONE dell'ONDA INCIDENTE.

* Per ANTENNE "AD APERTURA": $A_e = \eta_A A_g$, $\eta_A \leq 1$

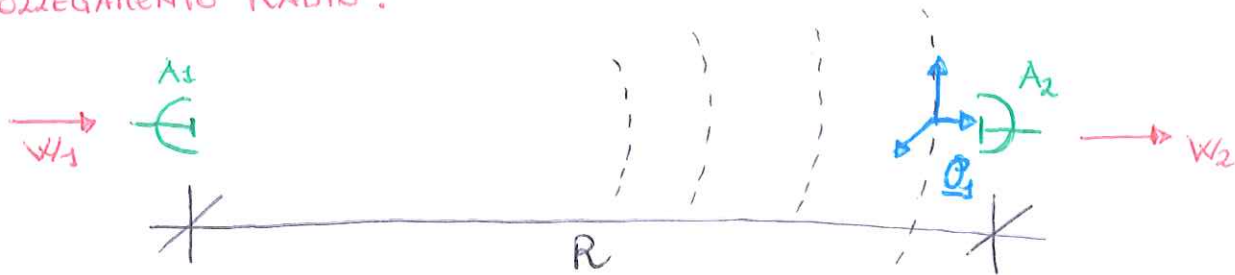
Di solito: $0.5 \leq \eta_A \leq 0.8$, con $\eta_A :=$ RENDIMENTO DI APERTURA

• Se CAMPI UNIFORMI sulla bocca dell'antenna $\rightarrow \eta_A = 1$

RELAZIONE IMPORTANTE TRA A_e e D :

$$A_e(\theta, \phi) = \frac{\lambda^2}{4\pi} D(\theta, \phi)$$

COLLEGAMENTO RADIO:



$$W_2 = A_{e2} P_1$$

diagramma radiazione in potenza di A_1

dove:

$$P_1 = \frac{1}{2} E_1 H_1^* = \frac{1}{2} E_{10} H_{10}^* e^{-2 \int_0^R k_j(\lambda, s) ds} = \frac{P_1}{R^2} e^{-2 \int_0^R k_j(\lambda, s) ds}$$

mezzo NON UNIFORME

k_j non costante

$$P_1 = \frac{D_1 W_1}{4\pi} \Rightarrow P_1 = \frac{D_1 W_1}{4\pi R^2} e^{-2 \int_0^R k_j(\lambda, s) ds}$$

COEFFICIENTE DI TRASMISSIONE (tra 2 antenne):

$$T_{12} = \frac{W_2}{W_1} = \frac{D_1 A_{e2}}{4\pi R^2} e^{-2 \int_0^R k_j(\lambda, s) ds}$$

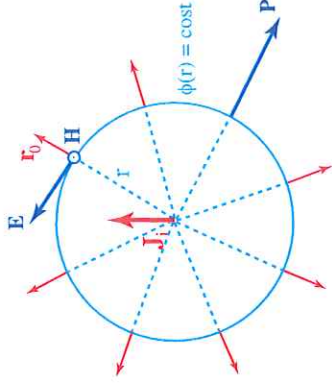
* SE ANTENNE "AD APERTURA", in funzione dell'area geometrica A_g :

$$\left[T_{12} = \frac{W_2}{W_1} = \eta_{A1} \eta_{A2} \frac{A_{g1} A_{g2}}{(\lambda R)^2} e^{-2 \int_0^R k_j(\lambda, s) ds} \right]$$

- cresce con le dimensioni dell'antenne;
- decresce con il quadrato delle distanze;
- cresce con la frequenza f , a meno che k_j (che dipende da f) non ne alteri la dipendenza;
- NON dipende dal verso di TX (se mezzo reciproco)

L'irradiazione elettromagnetica

Campo prodotto da una sorgente elettrica "puntiforme" in un mezzo omogeneo privo di dissipazioni \rightarrow RAGGI RETTILINEI (ϵ_0)



I raggi elettromagnetici scaturiscono dal punto (e.g., origine delle coordinate) in cui è posta la sorgente.

$$\mathbf{E}(\mathbf{r}) = \mathbf{E}_0 e^{-j\kappa_0 \Phi(\mathbf{r})}$$

con $\mathbf{E}_0 \perp \mathbf{H}_0 \perp \mathbf{r}_0 // \mathbf{P}$

Direzione di propagazione ($\hat{\mathbf{z}}_0$)

Nel mezzo omogeneo e privo di dissipazioni, $\Phi(r) = nr$

$$E(r) = E_0 e^{-jkr}$$

e, considerata la sfera di generica superficie S centrata sulla sorgente, per la conservazione dell'energia

$$\mathcal{R}e \left[\oint_S \frac{\mathbf{E} \times \mathbf{H}^*}{2} \cdot \mathbf{n} dS \right] = \mathcal{R}e \left[\oint_S \frac{\mathbf{E}_0 \times \mathbf{H}_0^*}{2} \cdot \mathbf{n} dS \right] = \text{cost} \quad \forall S$$

E_0 e H_0 non possono quindi essere indipendenti dalle coordinate, ma, nell'approssimazione di ottica geometrica, devono decrescere come $\frac{1}{r}$

I valori iniziali di E_0 e H_0 dipendono inoltre dalla corrente di sorgente

L'onda prodotta dalla sorgente a superficie sferica si attenua decrescendo con la distanza come $\frac{1}{r}$

superficie sferica
= sfera concentrica

Potenza nel mezzo non dissipativo → classe di potenza costante e qualitativa identica!

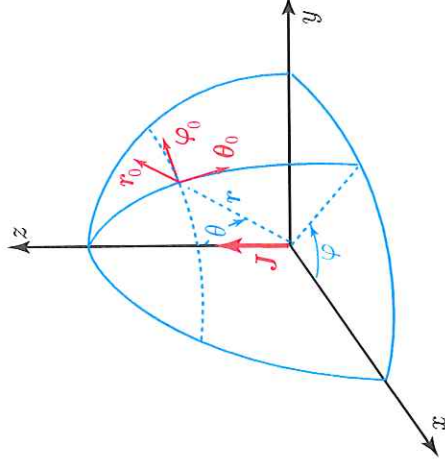
$$\frac{1}{r} \cdot \frac{1}{r} dS = \frac{1}{r^2} \cdot r^2 d\Omega = \text{cost}$$

Se si ricava H dalla prima equazione di Maxwell e si sostituisce nella seconda,

$$\nabla^2 \mathbf{E} + k^2 \mathbf{E} = \nabla \nabla \cdot \mathbf{E} = j\omega\mu \mathbf{J}_i$$

si vuole la corrente considerata CON SORGENTI

equazione non omogenea vettoriale che può essere risolta con l'ausilio dei potenziali elettrodinamici



Assunta $\mathbf{J}_i = J_i \mathbf{z}_0$ centrata sull'origine di un sistema di coordinate sferiche, se J_i è indipendente da φ (simmetria assiale), anche \mathbf{E}_0 e \mathbf{H}_0 sono indipendenti da φ , ma dipendono in generale da θ oltre che da r .

Definito il momento della sorgente


$$\mathcal{M} = \mathcal{M}_{z0} = \iiint_{V'} \mathbf{J}_i(\mathbf{r}') dV$$

Integrale delle correnti
DI SORGENTE SUE
VOLUME V'


il campo elettromagnetico irradiato è

$$\begin{aligned} \mathbf{E} &= \frac{\eta \mathcal{M}}{2\pi r^2} \left(1 + \frac{1}{jkr} \right) e^{-jkr} \cos \theta \mathbf{r}_0 \\ &+ \frac{j\omega\mu\mathcal{M}}{4\pi r} \left(1 + \frac{1}{jkr} - \frac{1}{k^2 r^2} \right) e^{-jkr} \sin \theta \boldsymbol{\theta}_0 \\ \mathbf{H} &= \frac{jk\mathcal{M}}{4\pi r} \left(1 + \frac{1}{jkr} \right) e^{-jkr} \sin \theta \boldsymbol{\phi}_0 \end{aligned}$$

proporzionale a \mathcal{M}

- \mathbf{H} 
 - è ortogonale alla direzione della sorgente e alla direzione radiale

- \mathbf{E} 
 - giace in un piano meridiano, contenente la direzione della sorgente

Le espressioni dei campi contengono somme di potenze di $\frac{1}{jkr}$  $= \frac{1}{j\beta r} = \frac{1}{j2\pi r} \frac{\lambda}{r}$

per cui, a seconda del rapporto $\frac{r}{\lambda}$

- possono prevalere i termini di ordine massimo o minimo
- può prevalere il componente meridiano di \mathbf{E} rispetto a quello radiale

- a distanza "piccola" (rispetto a λ) dalla sorgente

$r \ll \lambda$

$$E \propto \frac{1}{r^3} \quad H \propto \frac{1}{r^2}$$

come nel caso statico di dipolo elettrico o magnetico

il campo nelle "vicinanze" (rispetto a λ) della sorgente è detto campo di induzione il campo di induzione può essere elevato anche se la potenza erogata dalla sorgente è bassa (predomina la potenza reattiva)

- a "grande" (rispetto a λ) distanza dalla sorgente

$r \gg \lambda$

$$E \simeq j \frac{\eta \mathcal{M}}{2\lambda r} e^{-j\beta r} \sin \theta \quad H \simeq \frac{j \mathcal{M}}{2\lambda r} e^{-j\beta r} \sin \theta \quad \phi_0; \quad H = \frac{r_0 \times E}{\eta}$$

$\vec{E}_{ad} \perp \vec{H}$ IMMAGINARI
 $\vec{E} \perp \vec{H}$ REATTI

il campo è detto campo di radiazione e trasporta la potenza erogata (irradiata) dalla sorgente

Il campo di radiazione

- è un'onda sferica, la cui ampiezza decresce come $\frac{1}{r}$, come richiesto dalla conservazione dell'energia
- E e H sono trasversi tra loro e a r_0 (direzione del trasporto dell'energia e direzione locale di propagazione)
 $E \perp H \perp r_0$
- il rapporto tra E e H è l'impedenza intrinseca del mezzo $\frac{E}{H} = \eta$

Approssimabile
ad un'
ONDA PIANA UNIFORME.
(a grandi distanze
 $r \rightarrow \infty$)

il campo asintotico ha le proprietà di un raggio elettromagnetico.

Condizioni di radiazione:

$$\begin{aligned} \lim_{r \rightarrow \infty} |rE| &= \text{cost}; & \lim_{r \rightarrow \infty} |rH| &= \text{cost} \\ \lim_{r \rightarrow \infty} [r_0 \times \eta H + E] &= 0; & \lim_{r \rightarrow \infty} [r_0 \times E - \eta H] &= 0; \end{aligned}$$

Momento di dipolo $p = q\ell \Rightarrow M = I\ell$

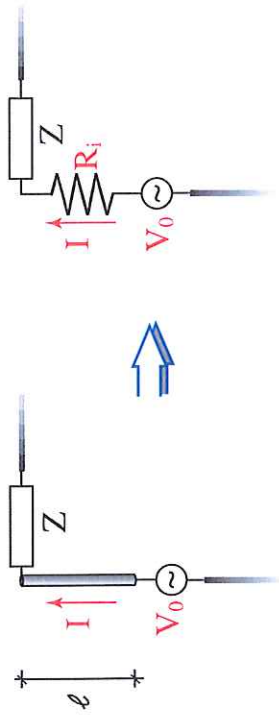
Irradiazione da sorgente corta filiforme

Nel caso di sorgente cilindrica corta e sottile, con J_z indipendente dalle coordinate, $M = I\ell$, se ℓ è la lunghezza del cilindro e I la corrente in esso. Il campo di radiazione è

$$E_\infty(r) = j \frac{\eta I}{2} \frac{\ell}{\lambda} \frac{e^{-j\beta r}}{r} \sin \theta \theta_0; \quad H_\infty = \frac{r_0 \times E_\infty}{\eta}$$

la potenza irradiata è proporzionale a $\left(\frac{\ell}{\lambda}\right)^2$: se la sorgente è corta rispetto a λ , essa irradia "poco" se $\ell \ll \lambda$

per il generatore, il filamento di corrente che irradia equivale a una resistenza R_i (resistenza di radiazione) che dissipa la potenza W_i irradiata



$$W_i = \frac{1}{2\eta} \oint_S |E_\infty|^2 dS$$

*Jacobiano coordinate
potenzi sferiche*

$$\begin{aligned} W_i &= \frac{1}{2\eta} \int_0^{2\pi} \int_0^\pi |E_\infty|^2 r^2 \sin\theta d\theta d\phi \\ &= \frac{1}{2\eta} \frac{\eta^2 I^2}{4} \left(\frac{\ell}{\lambda}\right)^2 \int_0^{2\pi} \int_0^\pi \frac{\sin^2\theta}{r^2} r^2 \sin\theta d\theta d\phi \\ &= \frac{\eta I^2}{8} \left(\frac{\ell}{\lambda}\right)^2 2\pi \int_0^\pi \sin^3\theta d\theta = \frac{\pi}{3} \eta I^2 \left(\frac{\ell}{\lambda}\right)^2 \end{aligned}$$

$$R_i = \frac{2W_i}{I^2} = \frac{2}{3} \pi \eta \left(\frac{\ell}{\lambda}\right)^2$$

qualunque elemento di circuito percorso da corrente è una sorgente che irradia

se $\ell \ll \lambda = \frac{c_0}{f}$, la sorgente è “corta” e l’elemento di circuito irradia “poco”, ovvero presenta una bassa resistenza di radiazione

per dimensioni ℓ dell’ordine del centimetro, almeno sino a frequenze dell’ordine delle centinaia di MHz ($\lambda \simeq 1$ m), la radiazione è trascurabile e i circuiti possono essere analizzati con le approssimazioni *quasi statiche*

a microonde l’effetto dell’irradiazione è apprezzabile e la teoria dei circuiti inadeguata

Le antenne

Le antenne irradiano (agiscono da sorgente) e captano il campo elettromagnetico

Parametri delle antenne

Diagramma di radiazione

Campo a grande distanza di una sorgente generica

$$\mathbf{E}_{\infty}(\mathbf{r}) = C \frac{e^{-j\beta r}}{r} \mathbf{f}(\theta, \phi).$$

i primi due fattori sono gli stessi qualunque sia la sorgente

il terzo dipende da dimensioni, forma e distribuzione spaziale delle correnti ed è quindi caratteristico dell'antenna

le proprietà radiative di un'antenna sono descritte

in ampiezza e fase dal diagramma di radiazione in campo $\mathbf{F}(\theta, \phi)$

$$\mathbf{F}(\theta, \phi) = r e^{j\beta r} \mathbf{E}_{\infty}(r, \theta, \phi) = F_{\theta}(\theta, \phi) \theta_0 + F_{\phi}(\theta, \phi) \phi_0$$

in potenza dal diagramma di radiazione in potenza

$$P(\theta, \phi) = r^2 \cdot \frac{1}{2} |\mathbf{E}_{\infty} \times \mathbf{H}_{\infty}^*| = \frac{1}{2\eta} |\mathbf{F}(\theta, \phi)|^2$$

Il diagramma di radiazione in potenza è la densità di potenza irradiata per unità di angolo solido ($\text{W} \cdot \text{ster}^{-1}$)

fanno entrambe
la cosa

Sempre uguali

AMPIEZZA e FASE

DENSITÀ SUPERFICIALE DI POTENZA, ottenute
eliminando la dipendenza dalla distanza

I diagrammi di radiazione dipendono dalla potenza irradiata *della antenna* per avere un parametro che dipende solo dall'antenna si definisce la

Funzione di direttività:

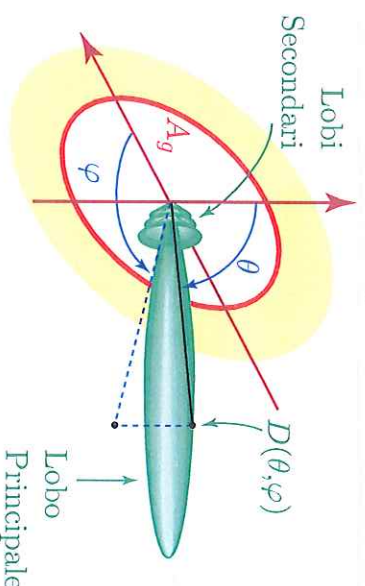
diagramma di radiazione in potenza normalizzato alla densità angolare media di potenza irradiata (trasmessa):

$$D(\theta, \phi) = \frac{P(\theta, \phi)}{\frac{W_T}{4\pi}}$$

potenza media irradiata

La direttività di un'antenna è il valore massimo di $D(\theta, \phi)$

rappresentazione di $D(\theta, \phi)$ in coordinate polari



Solida di radiazione
di un'antenna direttiva
con area di bozza A_g

Un'antenna opera sia in trasmissione sia in ricezione

W_{rp} = Potenza Ricevuta dipendente
dalla Polarizzazione (potenza P)

Area equivalente

$$A_{ep}(\theta, \phi) = \frac{W_{rp}(\theta, \phi)}{P}$$

potenza ricevuta W_{rp} normalizzata alla densità superficiale P di potenza incidente
 A_{ep} dipende dalla polarizzazione del campo incidente \rightarrow Consideriamo ONDA PIANA
UNIFORME!
l'area equivalente di un'antenna "ad apertura" è una frazione dell'area geometrica

$$A_e = \eta_A A_g \quad \eta_A \leq 1$$

A_g = AREA GEOMETRICA

η_A è il rendimento di apertura

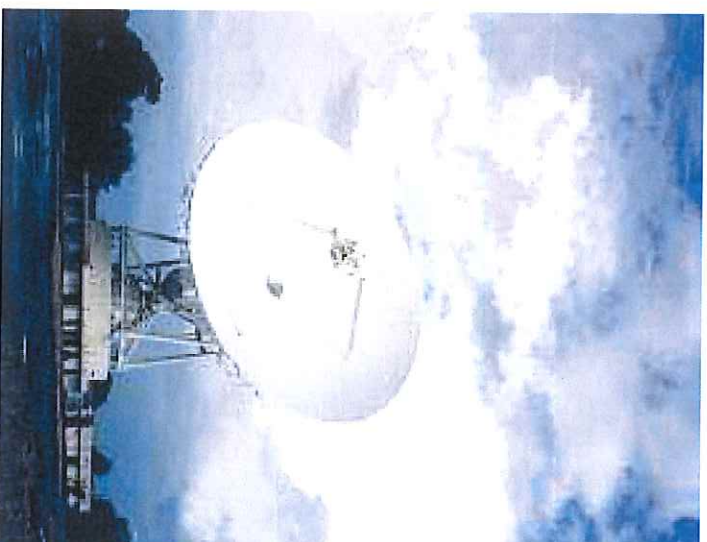
se si riuscisse a realizzare una distribuzione di correnti impressa uniforme sull'apertura, l'area equivalente coinciderebbe con quella geometrica

in pratica, $0.5 \lesssim \eta_A \lesssim 0.8$

proporzionalità tra area equivalente e direttività

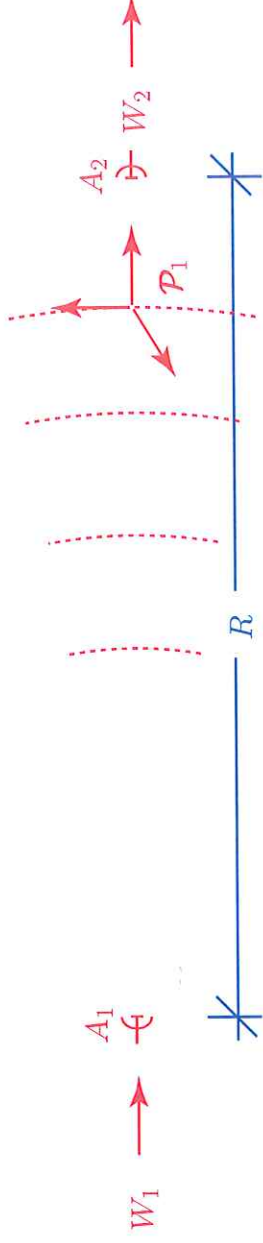
$$A_e(\theta, \phi) = \frac{\lambda^2}{4\pi} D(\theta, \phi)$$

Esempio di antenna ad apertura



Il collegamento radio

Due antenne A_1 e A_2 a distanza “grande”



$$W_2 = A_e \mathcal{P}_1$$

\mathcal{P}_1 è la densità superficiale di potenza che A_1 crea sul piano di bocca di A_2

$$\mathcal{P}_1 = \frac{1}{2} E_1 H_1^* = \frac{1}{2} E_{10} H_{10}^* e^{-2 \int_0^R k_j(\lambda, s) ds} = \frac{P_1}{R^2} e^{-2 \int_0^R k_j(\lambda, s) ds}$$

se

E_{10} e H_{10} sono i campi in assenza di attenuazione;

k_j è l'attenuazione specifica del mezzo attraversato

$$\mathcal{P}_1 = \frac{D_1 W_1}{4\pi R^2} e^{-2 \int_0^R k_j(\lambda, s) ds}$$

coefficiente di trasmissione tra le due antenne:

$$T_{12} = \frac{W_2}{W_1} = \frac{D_1 A_{e2}}{4\pi R^2} e^{-2 \int_0^R k_j(\lambda, s) ds}$$

se le antenne sono ad apertura, in funzione delle aree geometriche delle antenne

$$T_{12} = \eta_{A1} \eta_{A2} \frac{A_{g1} A_{g2}}{(\lambda R)^2} e^{-2 \int_0^R k_j(\lambda, s) ds}$$

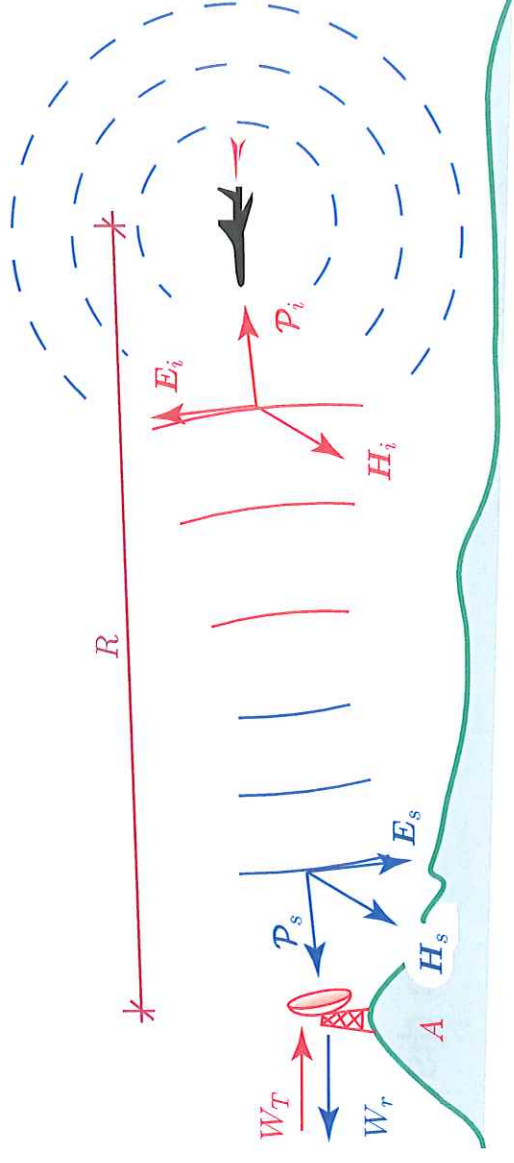
il coefficiente di trasmissione

- cresce con le dimensioni delle antenne
- decresce con il quadrato della distanza
- cresce con la frequenza, a meno che il fattore di attenuazione, che dipende dalla frequenza, non ne alteri la dipendenza
- non dipende dal verso di trasmissione (se il mezzo è reciproco)

Il radar

rileva la presenza di un oggetto captando una (**piccolissima**) parte della potenza riflessa (eco radar),
determina la *direzione* in cui si trova (direzione di “puntamento” dell’antenna)
misura *distanza* (tempo intercorso tra irradiazione e captazione)
velocità radiale (spostamento Doppler)

e (sistemi sofisticati) ne **identifica** alcune *caratteristiche* (caratteristiche dell’eco)



quando il radar trasmette la potenza W_T , sull'oggetto incide un'onda localmente piana e uniforme che trasporta una densità superficiale di potenza

$$\mathcal{P}_i = \frac{DW_T}{4\pi R^2} e^{-2 \int_0^R k_j(\lambda, s) ds}$$

i materiali di cui è costituito l'oggetto hanno $\epsilon \neq \epsilon_0$ e spesso $g \neq 0$ (eventualmente $\mu \neq \mu_0$) per cui si ha riflessione dell'onda incidente
la potenza riflessa viene reirradiata nelle varie direzioni \mathbf{r}_{0s} (*scattering*) secondo una funzione di reirradiazione $\sigma(\mathbf{r}_{0i}, \mathbf{r}_{0s})$ tipica dell'oggetto (forma, dimensioni, materiali) e analoga al diagramma di radiazione in potenza di un'antenna
nella direzione $\mathbf{r}_{0s} = -\mathbf{r}_{0i}$ è inviata una densità angolare di potenza

$$P_s(\mathbf{r}_{0i}, -\mathbf{r}_{0i}) = \frac{\sigma_b(\mathbf{r}_{0i})\mathcal{P}_i}{4\pi}$$

cui corrisponde una densità superficiale di potenza alla distanza R

$$\mathcal{P}_s = \frac{\sigma_b(\mathbf{r}_{0i})\mathcal{P}_i}{4\pi R^2} e^{-2 \int_0^R k_j(\lambda, s) ds} = \frac{DW_T\sigma_b}{(4\pi R^2)^2} e^{-4 \int_0^R k_j(\lambda, s) ds}$$

l'antenna (di solito ricetrasmittente) A capta la potenza

$$W_r = A_e \mathcal{P}_s = \frac{A_e D \sigma_b}{(4\pi R^2)^2} W_T e^{-4 \int_0^R k_j(\lambda, s) ds} = \frac{\eta_A^2 A_g^2 \sigma_b}{4\pi \lambda^2 R^4} e^{-4 \int_0^R k_j(\lambda, s) ds} W_T$$

equazione del radar

la potenza captata può essere molto bassa ($R_{MAX} \gtrsim 100$ km, attenuazione atmosferica)

sono richiesti sistemi di ricezione sofisticati, alte potenze (anche MW), grandi antenne

② $\vec{E}_0 = 137\hat{y} + j 83.3(\hat{x} - \hat{z})$

$f = 10 \text{ GHz} = 10^{10} \text{ Hz}$

$M_1 : E_1 = 2E_0 \quad ; \quad M_2 : E_2 = 4E_0$

$\vec{E}_{av} = E_{av} \vec{V}_0 = E_{av} (\hat{x}_0 \cos\theta - \hat{z}_0 \sin\theta) = k(\hat{x}_0 - \hat{z}_0)$

$\Rightarrow \cos\theta = \sin\theta \Rightarrow \theta = \frac{\pi}{4}$

$\vec{B} = 2\pi f \cdot \sqrt{\mu_0 \epsilon_0} \left(\frac{\hat{x}_0 + \hat{z}_0}{2} \right) = 2\pi \cdot 10^{10} \text{ Hz} \cdot \frac{1}{2} \cdot 10^{-8} \frac{\text{W}}{\text{A}^2} (\hat{x}_0 + \hat{z}_0) =$

$= 209.44 (\hat{x}_0 + \hat{z}_0) \text{ m}^{-1}$

$\vec{E}(\vec{r}) = [137\hat{y} + j 83.3(\hat{x}_0 - \hat{z}_0)] e^{-j 209.44(x+z)} \text{ V/m}$

ad 2 POLARIZZATO ELLITTICAMENTE DESTRO, poiché $|\vec{E}_y| \neq |\vec{E}_x|$

$M_{21} = \sqrt{\frac{\epsilon_2}{\epsilon_1}} = \sqrt{2} \quad ; \quad \eta_1 = \frac{1}{\sqrt{2}} \eta_0 \quad ; \quad \eta_2 = \frac{2}{\sqrt{2}} \eta_0 \Rightarrow \frac{\eta_2}{\eta_1} = \sqrt{2}$

$\frac{\sin\theta'}{\beta'} = \frac{\beta}{\beta'} \sin\theta \Rightarrow \sin\theta' = \beta \sin\theta = \frac{\omega \sqrt{\mu_0 \epsilon_0}}{\omega \sqrt{\mu_0 \epsilon_0}} \cdot \frac{1}{\sqrt{2}} = \frac{1}{\sqrt{2}} \Rightarrow \theta' = \frac{\pi}{6}$

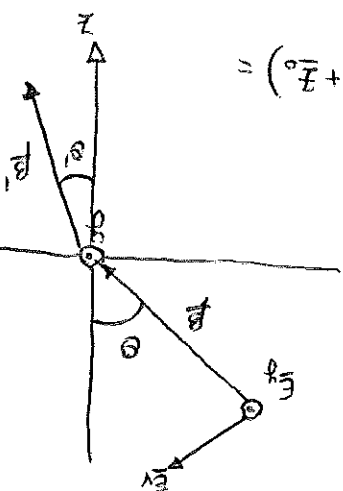
$\vec{B}' = 2\pi f \cdot \lambda \cdot \sqrt{\mu_0 \epsilon_0} \left(\frac{\hat{x}_0 + \sqrt{3}\hat{z}_0}{2} \right) = 209.44 (\hat{x}_0 + \sqrt{3}\hat{z}_0) \text{ m}^{-1}$

$t_{eh} = \frac{2 \cos\theta}{\cos\theta + \frac{1}{M_{21}} \sqrt{\frac{\mu_2}{\mu_1} - \sin^2\theta}} = \frac{2/\sqrt{2}}{\frac{1}{\sqrt{2}} + \frac{1}{\sqrt{2}} \cdot \sqrt{2 - \frac{2}{2}}} = 0.73$

$t_{ev} = \frac{2 \cos\theta}{\frac{\eta_1}{\eta_2} \cos\theta + \frac{1}{M_{21}} \sqrt{\frac{\mu_2}{\mu_1} - \sin^2\theta}} \approx 0.75 \quad \vec{V}_0' = \sqrt{3}\hat{x}_0 - \hat{z}_0$

$-\vec{E}'(\vec{r}) = [100\hat{y} + j 35(\sqrt{3}\hat{x}_0 - \hat{z}_0)] e^{-j 209.44(x+\sqrt{3}z)} \text{ V/m}$

ad 3 POLARIZZATO ELLITTICAMENTE DESTRO.



$$\Rightarrow \operatorname{Re} \left[\iiint_{V_S} \frac{1}{2} \frac{\partial V_S}{\partial t} dV_S \right] = 0 \quad \rightarrow \quad \text{Tutte potenze reattive! Le sorgenti non creano potenza}$$

Quindi $W_R = 0$;

- Come già detto, $W_i = 0$ poiché la sfera contenente la sorgente è di materiale conduttore ideale

① Sfera metallica cava, $R_0 = 1 \mu$, $g \rightarrow \infty$

Sorgente cilindrica: $A_s = 1 \text{ m}^2$, $\epsilon_s = 8 \text{ mV}$

Cubo dissipativo: $\epsilon_n = 5 \text{ mV}$, $\epsilon = (2-j0.5) \epsilon_0$, $\mu = \mu_0$, $g = 3 \cdot 10^{-2} \text{ S m}^{-1}$

$$\vec{E}_s(t) = 25 [2 \hat{x}_0 \cos(\omega t) + \hat{y}_0 \sin(\omega t)] V/\mu$$

$$\vec{J}_i = 10 (\hat{y}_0 + \hat{z}_0) A/\omega^2$$

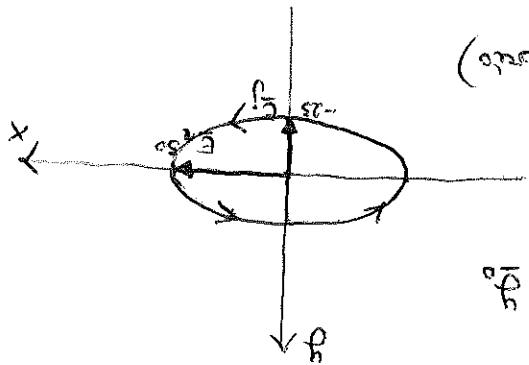
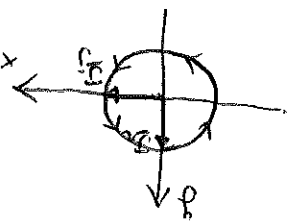
$$\vec{E}_s(t) = \vec{E}_n \cos(\omega t) - \vec{E}_j \sin(\omega t) \Rightarrow \begin{cases} \vec{E}_n = 50 \hat{x}_0 \\ \vec{E}_j = -25 \hat{y}_0 \end{cases}$$

$$\vec{E}_s = \vec{E}_n + j \vec{E}_j = 25 (2 \hat{x}_0 - j \hat{y}_0) V/\mu$$

è polarizzato ELLITTICAMENTE DESTRO (antenna)

$$\vec{J}_i = \vec{J}_n + j \vec{J}_j = (10 \hat{y}_0 + j 10 \hat{z}_0) A/\omega^2 \Rightarrow \begin{cases} \vec{J}_n = 10 \hat{y}_0 \\ \vec{J}_j = 10 \hat{z}_0 \end{cases}$$

è polarizzato CIRCOLARMENTE DESTRO (antenna)



- $W_n = ?$
Bilancio della potenza tramite Teorema di Poynting sulle parti reali:

$$\underbrace{\text{Re} \left[\iiint_V -\vec{J}_i^* \cdot \vec{E} \, dV \right]}_{W_n} = \underbrace{\text{Re} \left[j \omega \iiint_V -\epsilon^* \vec{E} \cdot \vec{E}^* \, dV \right]}_{W_n} + \underbrace{\frac{1}{2} \text{Re} \left[\oint_S (\vec{E} \times \vec{H})^* \cdot \hat{n} \, dS \right]}_{W_i}$$

$W_i = 0$ poiché è una sfera cava di metallo conduttore ideale, ϵ che non permette flusso di potenza verso e' esterno.

Possiamo trovare W_n calcolando l'integrale dei termini di sorgente sul volume

$$V_s = A_s \cdot \epsilon_s$$

$$\vec{J}_i^* \cdot \vec{E}_s = (10 \hat{y}_0 - j 10 \hat{z}_0) \hat{A} \cdot (50 \hat{x}_0 - j 25 \hat{y}_0) V/\mu = -500j - 250j = -750j$$